

I-13 歩行者の歩行による4径間連続歩道橋の振動性状について

北大工学部 正員 芳村 仁
開発局港湾部 正員 ○上西 隆広

1. まえがき

横断歩道橋は、歩行者の歩行状態によつては比較的容易に大きな振動を発生する。この振動は大抵の場合、強度的にみれば十分に安全な程度であるが、歩行者に対し不快感や不快感を与えたる、時には部材の疲労による局部的な破損を招く事があると言われている。横断歩道橋が振動し易いのは、これが剛性が小さく、細長い構造物である事、一般に溶接結合されているために減衰性能が低い事、人の荷重が歩道橋にとつて周期的には外力となる事などによると考えられる。これが多径間連続桁形式の場合には、単純桁形式に比べて振動特性が複雑である。

本報告では、札幌市中央区にある南大通横断歩道橋（4径間連続桁）を例にとり、(1)定常強制振動応答曲線による連続桁の振動特性の考察、(2)歩行者の接地圧の仮定と歩行状態のモデル化による歩行時振動の解析および実測結果との比較、の2点を主題とした。

本研究は、芳村および高松・米沢の研究成果¹⁾をもとにし、新たに仮定した歩行者の接地圧のパルスモデルの適否について考察したものである。

2. 歩行者の力学的特性

既往の調査・実験により、歩行者の動的荷重の特性として次の事が言える。

(1) 歩行時接地圧の時間的变化は、小原らの実測によると図-1のよう

接地瞬間の衝撃、踏込時のピ-ツ压、けり進む時の小さなピ-ツ压、
および、端から減少していく。²⁾

(2) 歩行者の平均歩調、平均速度は、梶川らの調査²⁾によるとそれぞれ 2.0 SEC,
1.4 m/sec であり、その到着分布はほぼランダム分布である。³⁾

(3) 人が立位で居る時に、足元から受けた強制振動に対し、上体が 4 Hz
をピ-ツに 3~6 Hz 附近で共振するが、膝を曲げた状態では、共振点
が認められず、3 Hz 以上の振動では、上体への伝達率が低くなる。⁴⁾

3. 南大通横断歩道橋の断面諸元、固有振動

径間割は図-2 に示すよう、第1、第3径間が長く4径間連続桁形式である。また曲げ剛性 EI、死荷重 W、減衰定数 wb は

$$EI = 1.8414 \times 10^8 \text{ kg} \cdot \text{m}^2 \quad 3-1$$

$$W = 1.59 \text{ ton/m} \quad 3-2$$

$$wb = 0.128 \quad 3-3$$

である。曲げ剛性は、桁の平均的断面によると計算で $1.057 \times 10^8 \text{ kg} \cdot \text{m}^2$ となる。しかし、この値を計算を行なう場合、牛尾らも指摘しているように、2次部材の剛性や支点の拘束度などの影響を無視している事により、1次固有振動周期が実測に対し 2 倍以上長くなってしまう。よって、以下実測による 1 次固有振動周期 ($T_1 = 0.250 \text{ sec}$) から逆計算して求めた曲げ剛性値を使用する。減衰定数も実測から求めた値である。

図-3 は固有振動モードと固有振動周期である。

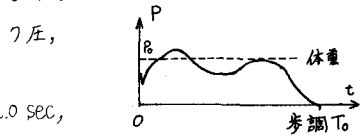


図-1 歩行時の接地圧

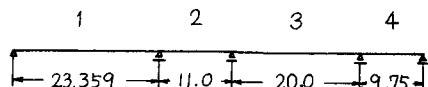


図-2 径間割 (単位 m)

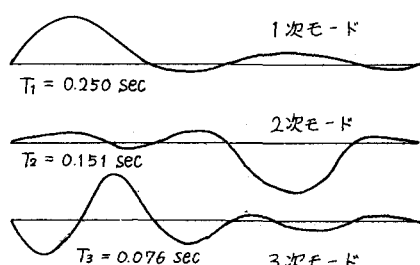


図-3 固有振動モード

4. 南大通横断歩道橋の定常強制振動 連続析に定常集中外力

$$P = P_0 \cos \omega t$$

がはたらくヒキの荷重点の変位応答は

$$Y(t) = \sum_{j=1}^{\infty} \left\{ C_j \cos \omega t + \frac{D_j}{\omega} \sin \omega t \right\} \cdot \frac{P_0 \bar{\omega}_j^2(x)}{M_j}$$

である。ここに

$$M_j ; j\text{次固有振動の一般質量}$$

$$\bar{\omega}_j(x) ; j\text{次固有振動モード}$$

$$C_j = \frac{\omega_j^2 - \omega^2}{(\omega_j^2 - \omega^2)^2 + 4\alpha_b^2\omega^2}$$

$$D_j = \frac{2\omega_b^2\omega^2}{(\omega_j^2 - \omega^2)^2 + 4\omega_b^2\omega^2}$$

式4-2の $\cos \omega t$ & $\sin \omega t$ の係数を1つのcosine関数に変形すると、倍率 M_d 、遅れ位相角 ϕ が求まる。

$$M_d = \frac{1}{\delta \omega t} \sqrt{\left(\sum_{j=1}^{\infty} A_j \cos d_j \right)^2 + \left(\sum_{j=1}^{\infty} A_j \sin d_j \right)^2} \quad 4-5$$

$$\phi = \tan^{-1} \left\{ \frac{\sum_{j=1}^{\infty} A_j \sin d_j}{\sum_{j=1}^{\infty} A_j \cos d_j} \right\} \quad (0 \leq \phi \leq \pi) \quad 4-6$$

$\approx 2\delta \omega t$ は P_0 による静的たわみ量であり、また

$$d_j = \tan^{-1} \left\{ \frac{2 \cdot \frac{\omega_b}{\omega_j} \cdot \frac{\omega}{\omega_j}}{1 - (\frac{\omega}{\omega_j})^2} \right\} \quad (0 \leq d_j \leq \pi) \quad 4-7$$

$$A_j = \frac{\omega_j^2 \cdot \bar{\omega}_j^2(x_0)}{M_j \sqrt{1 - \left(\frac{\omega}{\omega_j} \right)^2 + 4 \cdot \left(\frac{\omega_b}{\omega_j} \right)^2 + 4 \cdot \left(\frac{\omega}{\omega_j} \right)^2 \cdot \left(\frac{\omega_b}{\omega_j} \right)^2}} \quad 4-8$$

である。

南大通横断歩道橋の第1径間中央点の倍率曲線は

図-4 である。

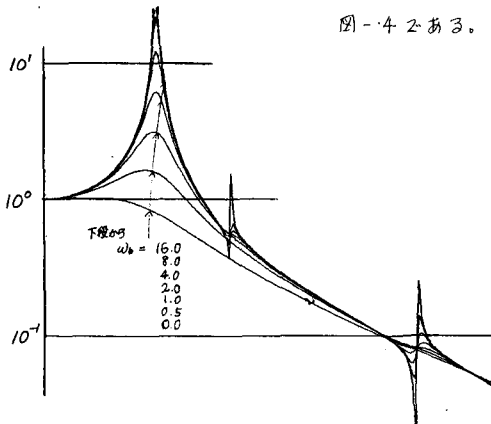


図-4 第1径間中央点の倍率曲線

この地点において倍率が1以上になるのは、1次固有円振動数以下の前後が主であり、 ω_2, ω_3 についてもそのごく

- 4-1 附近に限られている。しかしながら、図-3の固有振動モードをみると分かるように、第1径間の中央付近からやや離れた所では必ずしもこの限りではない事が予想される。

5. 歩行外力による南大通横断歩道橋の振動解析

(1) 集中荷重に対する連続析の振動応答¹⁾

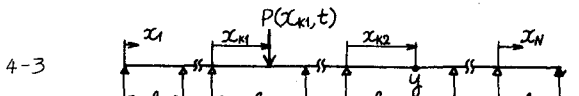


図-5

図-5に示すN径間連続析の第K1径間の x_{K1} 点に集中荷重 $P = P_0 f(t)$ ($t \geq 0$)

が作用したときの第K2径間の x_{K2} 点での応答 $y(x_{K2}, t)$ は

$$y = \sum_{j=1}^{\infty} \frac{P_0}{\omega_j^2 M_j} \cdot \bar{\omega}_{K1,j}(x_{K1}) \cdot \bar{\omega}_{K2,j}(x_{K2}) \cdot D_j(t) \quad 5-2$$

である。ここに $\bar{\omega}_{K1,j}$ は第K1径間のj次固有振動モードである。また M_j はj次固有振動の換算質量である。

$$M_j = \int_0^{L_1} m \bar{\omega}_{K1,j}^2(x_1) dx_1 + \dots + \int_0^{L_N} m \bar{\omega}_{K1,j}^2(x_N) dx_N \quad 5-3$$

により計算される値である。また $D_j(t)$ は、式5-4で表される外力の変化 $f(t)$ のたたみ込み積分である。

$$D_j(t) = \int_0^t \frac{\omega_b^2}{\omega_j^2} e^{-\omega_b(t-\tau)} \sin(\omega_j(t-\tau)) f(\tau) d\tau \quad 5-4$$

となる。

$$\omega_j' = \sqrt{\omega_j^2 - \omega_b^2} \quad 5-5$$

(2) 1歩の接地圧の仮定と5-4式の計算

文献1) 2) は接地圧変化 $f(t)$

をサインの半周期と仮定して

、2径間連続析の良好な解析結果を得た。

本報告においては、さらに図-6で示される関数式5-6を仮定する。

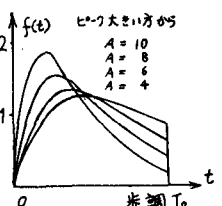


図-6

$$f(t) = \frac{A^2 T_0}{1 - e^{-AT_0} (1 + AT_0)} \cdot t e^{-At} \quad (0 \leq t \leq T_0) \quad 5-6$$

$$f(t) = 0 \quad (t < 0 \text{ or } t > T_0)$$

..... 5-6

この $\ddot{f}_c(t)$ による式 5-3 の $D_c(t)$ 、および 2 回微分 $\ddot{D}_c(t)$ の計算結果は式 5-7, 5-8 である。

$$D_c(t) = \frac{\omega_c^2 A^2 T_0 B_c}{\omega_c^2 (1 - e^{-\alpha t} (1 + AT_0))} \left\{ \omega_c' F_{1c} - 2(\omega_b - A) \omega_c' B_c \cdot F_{2c} \right. \\ \left. + (\omega_c'^2 - (\omega_b - A)^2) \cdot B_c \cdot F_{3c} + (\omega_b - A) \cdot F_{4c} \right\} \quad 5-7$$

$$\ddot{D}_c(t) = \frac{\omega_c^2 A^2 T_0 B_c}{\omega_c^2 (1 - e^{-\alpha t} (1 + AT_0))} \left\{ \omega_c' G_{1c} - 2(\omega_b - A) \omega_c' B_c \cdot G_{2c} \right. \\ \left. + (\omega_c'^2 - (\omega_b - A)^2) \cdot B_c \cdot G_{3c} + (\omega_b - A) \cdot G_{4c} \right\} \quad 5-8$$

$i = 2$

$$B_c = \frac{1}{\omega_c'^2 + (\omega_b - A)^2} \quad 5-9$$

また式中の F_{1c}, G_{1c} は

(i) $t < 0$;

$$F_{1c} = F_{2c} = F_{3c} = F_{4c} = 0$$

$$G_{1c} = G_{2c} = G_{3c} = G_{4c} = 0$$

(ii) $0 \leq t \leq T_0$;

$$F_{1c} = t e^{-\alpha t}$$

$$F_{2c} = e^{-\alpha t} - e^{-\omega_b t} \cos \omega_c' t$$

$$F_{3c} = -e^{-\omega_b t} \sin \omega_c' t$$

$$F_{4c} = 0$$

$$G_{1c} = (A^2 t - 2A) e^{-\alpha t}$$

$$G_{2c} = A^2 e^{-\alpha t} - \omega_c^2 e^{-\omega_b t} \cos (\omega_c' t + 2\theta_c)$$

$$G_{3c} = -\omega_c^2 e^{-\omega_b t} \sin (\omega_c' t + 2\theta_c)$$

$$G_{4c} = 0$$

(iii) $t > T_0$

$$F_{1c} = e^{-\alpha t} \cdot e^{-\omega_b(t-T_0)} \cdot T_0 \cdot \cos \omega_c'(t-T_0)$$

$$F_{2c} = e^{-\alpha t} \cdot e^{-\omega_b(t-T_0)} \cdot \cos \omega_c'(t-T_0) - e^{-\omega_b t} \cos \omega_c' t$$

$$F_{3c} = e^{-\alpha t} \cdot e^{-\omega_b(t-T_0)} \cdot \sin \omega_c'(t-T_0) - e^{-\omega_b t} \sin \omega_c' t$$

$$F_{4c} = e^{-\alpha t} \cdot e^{-\omega_b(t-T_0)} \cdot T_0 \cdot \sin \omega_c'(t-T_0)$$

$$G_{1c} = \omega_c^2 e^{-\alpha t} e^{-\omega_b(t-T_0)} \cdot T_0 \cdot \cos (\omega_c'(t-T_0) + 2\theta_c)$$

$$G_{2c} = \omega_c^2 e^{-\alpha t} e^{-\omega_b(t-T_0)} \cos (\omega_c'(t-T_0) + 2\theta_c)$$

$$- \omega_c^2 e^{-\omega_b t} \cos (\omega_c' t + 2\theta_c)$$

$$G_{3c} = \omega_c^2 e^{-\alpha t} e^{-\omega_b(t-T_0)} \cdot \sin (\omega_c'(t-T_0) + 2\theta_c)$$

$$- \omega_c^2 e^{-\omega_b t} \sin (\omega_c' t + 2\theta_c)$$

$$G_{4c} = \omega_c^2 e^{-\alpha t} e^{-\omega_b(t-T_0)} \cdot T_0 \cdot \sin (\omega_c'(t-T_0) + 2\theta_c)$$

二二に及ぶ

$$\theta_c = \tan^{-1} (-\omega_c'/\omega_b)$$

である

(3) 歩行状態のモデル化

歩行者が橋の端から歩調 T_0 、歩幅 X_0 で歩行する状態

の荷重モデルを、図-7 のように図-6 の集中荷重が時間的、空間的に変化して組合せたものと仮定する。1 歩目の荷重に対する応答が式 5-2 であり、二歩目

$$y_0(x_{k1}, t) \quad 5-11$$

とおむね、第 N 歩目を歩行中の時刻 t の変位応答は、

$$y = \sum_{j=1}^N y_0(jX_0, t - (j-1)T_0) \quad 5-12$$

により計算される。

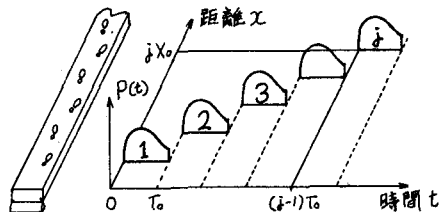


図-7 歩行外力モデル

(4) 南大通横断歩道橋の振動解析結果と実測値

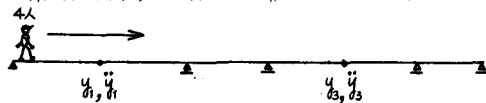


図-8

次ページ図-9 ～ 図-12 は、人が第1径間側から歩行を始めた状態の第1径間と第3径間中央点の変位、加速度応答の計算結果 $y_1, \ddot{y}_1, y_3, \ddot{y}_3$ である。

計算では、振動実験の際の歩行条件である歩調 T_0 、歩幅 X_0 、体重 P_0 を以下の値とした。

$$T_0 = 0.4872 \text{ sec} \quad 5-13$$

$$X_0 = 0.8215 \text{ m} \quad 5-14$$

$$P_0 = 269 \text{ kg} \quad 5-15$$

ここで体重 269 kg は 4 名の体重の合計値である。また、図-9 ～ 図-12 に示した計算では、式 5-6 における A の値を、図-6 の曲線群のうち比較的図-1 に近い曲線を与える定数として

$$A = 4.0 \quad 5-16$$

とした。

図-13 は、図-10 の状態に対応する振動実験による実験結果である。二の実験では、式 5-13, 5-14 の歩行条件で 4 名が歩調を合わせて歩行を行い、第1径間中央点での加速度応答を測定した。

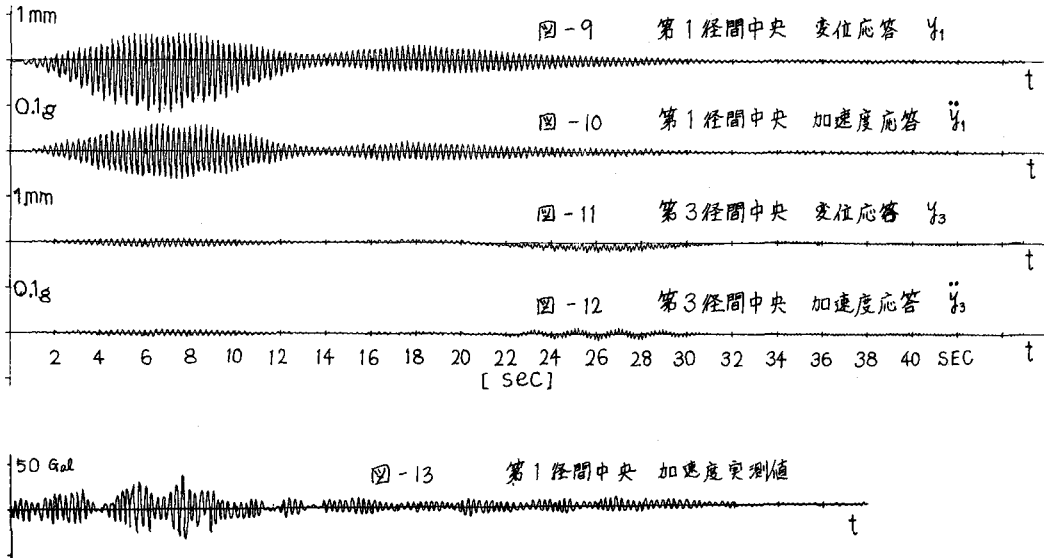


図-10は、図-13と比較すると細かく振動特性がかなり正確に再現していると考えられる。しかしながら、解析結果における加速度振幅の最大値が実測結果のそれに対し、約1.8倍に大きく計算されている。この理由として次の2点

- i) 実測時の4人の歩行者の僅かな歩調の乱れにより、歩行者の接地圧が図-1に示すものより平滑化されるため、図-13における振幅が1人で歩行した場合の4倍より小さくするために計測されているだろうという事、(この事は牛尾らの実験⁵⁾でも確認されている)
 - ii) 実測時には4名が一列に並んで歩行したので、わりに振動も多少発生し、これがたわみ方向の加速度振幅の計測値に影響しているのではないかという事、
- が考えられる。

6. むすび

文献1)に続いて新たに歩行者の荷重モデルを仮定し、このモデルによつて4径間連続歩道橋の振動解析を行つた結果、実測との振動性状を比較的良好に再現できた。

本報告をまとめるにあたり、北海道大学の茎沢教授、三上助手、佐々木助手には、御協力をいただいたことを感謝する。

参考文献

- 1) 芳村・高松・米沢「歩行者の歩行による連続橋の振動性状について」(道支部論文報集 昭和53年度)
- 2) 小原・内田・宇野「建築・室内・人間工学」(鹿島出版)
- 3) 梶川・小堀「動的応答からみた歩道橋の使用性に関する確率論的考察」(論文報告集 1977年10月)
- 4) 小堀・梶川「橋梁振動の人間工学的評価法」(論文報告集 1974年10月)
- 5) 牛尾・南条「歩道橋の振動に関する諸問題」(日立造船技報 第33巻第3号)